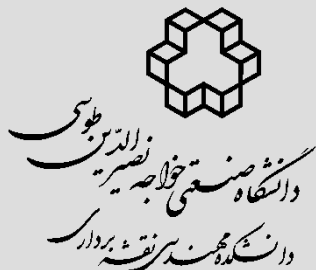


نشریه علمی مهندسی فناوری اطلاعات مکانی



سال نهم، شماره سوم، پاییز ۱۴۰۰

Vol.9, No.3, Autumn 2021

۲۵ - ۳۸

مقاله پژوهشی

DOR: [20.1001.1.20089635.1400.9.3.1.2](https://doi.org/10.1001.1.20089635.1400.9.3.1.2)

تعیین ارتفاع ساختمان‌های شهری براساس تخمین غیرپارامتریک طیف سیگنالی در توموگرافی داده‌های SAR

مهرنوش امتحانی^{۱*}، محمود رضا صاحبی^۲، حسین آقابابایی^۳

- ۱- دانشجوی دکتری سنجش از دور، دانشکده مهندسی نقشه‌برداری، دانشگاه صنعتی خواجه نصیرالدین طوسی
۲- دانشیار گروه فتوگرامتری و سنجش از دور، دانشکده مهندسی نقشه‌برداری، دانشگاه صنعتی خواجه نصیرالدین طوسی
۳- استادیار دانشکده ITC، دانشگاه تولیده هلند

تاریخ دریافت مقاله: ۱۳۹۸/۱۱/۲۳ تاریخ پذیرش مقاله: ۱۳۹۹/۰۵/۰۸

چکیده

امروزه تکنیک توموسار با بسط اصول روزنه مجازی در راستای ارتفاعی، توانسته است محدودیت تکنیک‌های تداخل‌سنجدی را در تفکیک پراکنش‌گرهای متعدد در پیکسل را برطرف نموده و توجه زیادی را در آنالیز مناطق پرچالش شهری به خود معطوف نماید. با وجود انتظار مشارکت و برهمنهی مولفه‌های مختلف پراکنشی از ساختمان‌هایی با ارتفاعات مختلف، سطح دیوار و سقف ساختمان‌ها، سطح زمین و یا تنۀ درختان، تکنیک توموسار با به کارگیری مجموعه‌ای از تصاویر اخذشده در زوایای مختلف و آنالیز طیف سیگنالی هر یک از پیکسل‌های تصاویر در جهت دو بعدی رنچ و آزیموت، امکان بازیابی تابع بازپراکنش را در راستای ارتفاعی فراهم آورده است. در این پژوهش، قابلیت روش نوین غیرپارامتریک تخمین طیف سیگنالی در آنالیز بعد سوم ساختمان در مناطق شهری مورد بررسی قرار می‌گیرد. تخمین گر کارآمد پیشنهادی ماکرزم آنتروپی، با جستجوی ضرایبی از مدل رگرسیون خودکار در راستای ماکرزم‌سازی آنتروپی سیگنال و همچنین تفکیک سطوح مختلف نویز در تصاویر توانسته است عملکرد مناسبی در بازسازی اطلاعات سه‌بعدی از منطقه فراهم نماید. پیاده‌سازی الگوریتم پیشنهادی با استفاده از ۱۹ تصویر ماهواره تراسار - ایکس در بررسی برج هزاره سوم شهر تهران با بلندای ۱۲۰ متر و مقایسه نتایج حاصل از آن در مقایسه با روش‌های تخمین طیفی کاپون و بیم‌فرمینگ، نشان از عملکرد بهتر روش پیشنهادی در بازسازی ارتفاعی ساختمان، پیوستگی پروفیل بازپراکنش و حذف اثرات سایدلوپ‌ها داشته است.

کلید واژه‌ها : تکنیک توموگرافی، آنالیز تخمین طیفی، تصاویر تراسار - ایکس، منطقه شهری.

* نویسنده مکاتبه کننده: تهران - خیابان ولی‌عصر - بالاتر از میدان ونک - تقاطع میرداماد - دانشکده مهندسی نقشه‌برداری.

تلفن: ۰۹۱۲۷۲۷۳۱۲۱

ارتفاعی (DEM)^۴ از منطقه، تخمین جابه‌جایی‌های سطح زمین ناشی از زلزله و فعالیت آتش‌فشانی، فرونشست ناشی از استخراج آب/نفت و رانش‌های آهسته و کند سطح زمین اشاره نمود^(۵).

تکنیک‌های تداخل‌سنگی SAR با استفاده از اختلاف فاز حداقل دو تصویر اخذشده از منطقه در زوایای دید مختلف می‌توانند اطلاعات دقیقی را از توپوگرافی سطح زمین تهیه نمایند^(۶). فرض اساسی انواع تکنیک‌های مطرح در این زمینه، وجود تنها یک پراکنش‌گر غالب در هر پیکسل خواهد بود^(۶). این در حالی است که پروفیل ارتفاعی پیچیده و تراکم بالای پراکنش‌گرهای قوی در مناطق شهری (وجود ساختمان، دیوارها و دیگر عوارض ساخت دست بشر)، ممکن است موجب برهم-نهی^۵ پاسخ چندین پراکنش‌گر مختلف در یک پیکسل گردد^(۶). لازم به ذکر است این شرایط ممکن است مشکلاتی را در تفسیر نتایج تصویر و حتی دشواری‌هایی را در استخراج دقیق موقعیت و بازسازی ارتفاع عوارض ایجاد نماید^(۳). اخیراً با بهبود قدرت تفکیک مکانی سنجنده آلمانی تراسار-ایکس^۶، پدیده برهم‌نهی اثر خود را در پیکسل‌های بیشتری نشان داده و توانسته احتمال مشارکت پراکنش‌گرهای متفاوت در یک پیکسل را بالا برد^(۶). در تصاویر سنجنده‌های راداری با قدرت تفکیک مکانی بالا، نسبت سیگنال به پس-زمینه و در نتیجه تعداد پراکنش‌گرهای قابل تشخیص در تصاویر نیز افزایش می‌یابد^(۶). این پراکنش‌گرها می‌توانند بر روی پشت‌بام (سقف)، زمین اطراف ساختمان و یا نمای خارجی آن باشند^(۶).

تکنیک SAR توموگرافی^۷ اخذ داده‌های یک سنجنده در گذرهای مختلف بر منطقه و استفاده توامان از اطلاعات دامنه و فاز سیگنال‌های دریافتی، توانسته پراکنش-

۱- مقدمه

سامانه‌های رادار با روزنامه مجازی^۱ (SAR) به عنوان یکی از مهم‌ترین سنجنده‌های سنجش از دوری، از قابلیت اخذ داده در تمامی شباهه‌روز و تحت هر شرایط آب‌وهواست برخوردار می‌باشد^(۱). در سامانه فعال SAR، سیگنال‌های بازگشته از مشاهدات سطح زمین در صفحه دو بعدی رنج^۲ و آزمیوت تصویر می‌گردد^(۱). در این سامانه، با افزایش پهنای باند طیف فرکانسی سیگنال رادار (بدون کاهش عرض پالس) می‌توان قدرت تفکیک مکانی در جهت رنج را در حد متر و حتی کمتر از آن بهبود بخشید^(۲). این در حالی است که بهبود قدرت تفکیک مکانی در راستای آزمیوت با افزایش مجازی طول آنتن و ترکیب همدوس اکوهای دریافتی از پدیده‌ها امکان‌پذیر خواهد بود^(۲). در سامانه SAR، سیگنال‌های بازگشته از سطح عوارض به صورت داده‌های مختلط (مقادیر دامنه و فاز) در تصاویر دو بعدی ثبت می‌گردد. مقادیر دامنه به عنوان معیاری از سیگنال‌های بازپراکنش یافته از عوارض سطح زمین، وابسته به خصوصیات سنجنده، هندسه تارگت و شرایط فیزیکی آن بوده و این در حالی است که اطلاعات فاز در سامانه همدوس SAR، مرتبط با فاصله تارگت تا سنجنده (مسیر ارسال و دریافت موج) می‌باشد^(۳).

در سال‌های اخیر با وجود کاربرد وسیع تصاویر SAR در زمینه‌های گوناگونی همانند تهیه نقشه پوشش‌های گیاهی و جنگل، پایش کاربری اراضی، بررسی رطوبت خاک، اکتشافات معدنی و تهیه نقشه‌های شهری^(۴) و^(۵)، تکنیک تداخل‌سنگی یا اینترفرومتری^(۳)، توجه سنجش از دور راداری را به طیف گسترده‌ای از زمینه‌های مطالعاتی معطوف نموده که کاربرد آن را می‌توان در سطح وسیعی از کشور مشاهده نمود^(۶). از نمونه کاربردهای این تکنیک می‌توان به تهیه مدل رقومی

^۴ Digital Elevation Model

^۵ Superposition

^۶ TerraSAR-X

^۷ TomoSAR

^۱ Synthetic Aperture Radar

^۲ Range

^۳ Interferometry

پیکسل، قادر به تعیین تعداد پراکنش‌گرها و همچنین تعیین شدت انرژی بازگشتی در ارتفاع‌های مختلف خواهدبود^[۱۱].

براساس دیدگاهی مطرح در این زمینه، می‌توان انواع تکنیک‌های *TomoSAR* را در دو دسته روش‌های تک-منظری^۳ و چندمنظری^۴ تقسیم‌بندی نمود^[۱۷]. در روش‌های تکمنظری، پس از ایجاد مجموعه‌ای از تصاویر اخذ شده در زوایای دید مختلف، هر یک از پیکسل‌ها در این مجموعه تصاویر به صورت مجزا در نظر گرفته شده و همبستگی میان پیکسل‌های مجاور مورد بررسی قرار نخواهد گرفت^[۱۷]. این در حالی است که مبنای روش‌های چندمنظری براساس تخمینی از ماتریس کواریانس داده‌ها بنا گردیده و با محاسبه این ماتریس، در واقع یک میانگین‌گیری کلی از پیکسل‌های مجاور انجام می‌گیرد^[۱۷]. از متداول‌ترین تکنیک‌های حوزه تکمنظری می‌توان به تخمین طیفی بیم فرمینگ^۵ و از روش‌های مطرح در رویکرد چندمنظری به تخمین‌گر طیفی کاپون^۶ اشاره نمود.

از دیدگاهی دیگر انواع روش‌های تخمین طیفی را می‌توان در سه رویکرد سنجش فشرده^(CS)^۷ و ^۸ و ^۹، پارامتریک^[۲۳] و غیرپارامتریک^{[۲۴] و ^{۲۵]} تقسیم‌بندی نمود. بررسی‌ها نشان داده‌است عملکرد هر یک از روش‌های آنالیز طیفی، وابسته به ماهیت پاسخ پراکنشی عوارض در منطقه خواهدبود^[۱۵]. عملکرد تکنیک‌هایی با رویکرد سنجش فشرده، کاملاً تحت تاثیر پارامترهای انتخابی توسط کاربر می‌باشند. در کاربردهای عملی، انتخاب مناسب‌ترین این پارامترها در یک روند تکراری و زمان بر صورت می‌پذیرد^[۱۶]. هم‌چنین نیاز اساسی مطرح در دسته روش‌های پارامتریک،}

گرهای چندگانه با ارتفاع‌های متفاوت را در هر پیکسل تفکیک نماید^{[۷] و ^{۸]}. اهمیت و کاربرد وسیع این تکنیک را می‌توان در مناطقی با ساختار پیچیده همانند مناطق شهری و جنگلی بیان نمود^[۹]. این تکنیک در اصل با تمرکز چندین تصویر اخذ شده با زوایای مختلف از یک منطقه، امکان باسازی تابع پراکنش در ارتفاع‌های مختلف و همچنین تفکیک و جداسازی پراکنش-گرها را در هر پیکسل امکان‌پذیر می‌سازد^[۹].}

کاربرد توموگرافی در *SAR* ابتدا در سال ۱۹۹۴ به منظور رفع محدودیت‌های تصویربرداری در تصاویر دوبعدی *SAR* مطرح گردید^[۱۲]. نخستین مطالعات در این زمینه تحت شرایط ایده‌آل آزمایشگاهی و با استفاده از سامانه‌های هوایی صورت گرفت^{[۱۳] و ^{۱۴]}. در دیگر پژوهش انجام شده، این تکنیک در تصاویر فضابرد اخذ شده و به منظور بازیابی پروفیل‌های پراکنشی در جهت ارتفاع مورد ارزیابی قرار گرفت^[۳]. به طور کلی در تکنیک *TomoSAR*، متمرکزسازی^۱ در راستای ارتفاعی متفاوت از راستای آزمیوت خواهد بود. توزیع مکانی پراکنده و غیرپکنواخت از داده‌های اخذ شده و همچنین محدودیت در تعداد اکوهای دریافتی، منجر به سطح قابل توجهی از ابهام در شبکه ارتفاعی می‌گردد^[۳].}

در پژوهشی انجام شده در سال ۲۰۰۹، روش کلاسیک فوریه‌مینا با هدف تمرکز داده‌ها در راستای ارتفاعی ارائه گردید^[۳]. نتایج حاصل از این پژوهش در تصاویر فضابرد مورد استفاده، نشان از دستیابی به قدرت تفکیک ضعیفی در راستای ارتفاعی داشته است^[۳]. از این‌رو با هدف بهبود تمرکز داده‌ها در راستای ارتفاعی و بازسازی دقیق ارتفاع منطقه، تکنیک *TomoSAR* در دیگر پژوهش‌ها به عنوان یک مسئله تخمین طیفی مورد توجه قرار گرفته و توانسته زمینه ارائه انواع روش‌های آنالیز طیفی را فراهم آورد^[۱۰]. انواع تخمین‌گرهای مطرح طیفی با دستیابی به پروفیل بازپراکنش^۲ در هر

^۳ *Single-look*

^۴ *Multi-look*

^۵ *Beamforming*

^۶ *Capon*

^۷ *Compressive Sensing*

^۱ *Focusing*

^۲ *Backscattering*

ارتفاع ساختمان‌ها به تفضیل شرح داده می‌شوند.

۱-۲ داده‌های مورد استفاده

به منظور ارزیابی عملکرد الگوریتم پیشنهادی، تصاویر سنجنده را داری تراسار- ایکس، اخذشده از منطقه‌ای در شهر تهران، به عنوان منطقه مطالعاتی در نظر گرفته شده است. در این پژوهش، ۱۹ تصویر تراسار- ایکس در بازه زمانی سال ۲۰۱۲-۲۰۱۳ با طول موج معادل $\frac{3}{1}$ متر، پلاریزاسیون افقی – افقی (HH)^۳ و محدوده زاویه فرود بین ۲۸-۲۴ درجه در راستای ارائه یک روش تخمین طیفی *TomoSAR* مورد استفاده قرار گرفته‌اند. تاریخ اخذ تصاویر تراسار- ایکس و مولفه خط مبنای عمودی هر یک از آن‌ها در جدول (۱) مشخص شده است. امروزه به منظور بررسی تکنیک توموگرافی در مناطق شهری، به تصاویر ماهواره‌ای تراسار- ایکس، به عنوان یکی از تصاویر با قدرت تفکیک مکانی بالا، توجه بسیاری می‌گردد. قدرت تفکیک مکانی این سنجنده در جهت رنج و آزمومت به ترتیب برابر ۱/۲ و ۳/۳ متر و اخذ داده‌ها در مد استیریپمپ صورت گرفته است. شکل (۱) میانگینی از دامنه‌های ۱۹ تصویر تراسار- ایکس و هم‌چنین تصویری از ساختمان موردنظر در بینگمپ^۴ را نشان می‌دهد. ساختمان انتخابی، متعلق به برج هزاره سوم یا برج میلینیوم واقع در خیابان شیخ بهایی و نزدیک به برج بین‌المللی تهران بوده که بلندای آن به ۱۲۰ متر می‌رسد. ارتفاع ساختمان موردنظر توسط انجمن ساختمان‌های بلند و زیستگاه‌های شهری (CTBUH)^۵ و براساس استانداردهای بین‌المللی اندازه‌گیری و تعریف ساختمان‌های بلند تعیین گردیده است. این برج به عنوان بزرگ‌ترین برج مسکونی - تجاری در ایران شناخته می‌شود.

دانش اولیه در تعیین تعداد پراکنش‌گرهای تخمین پارامترهای مدل آماری پیش‌فرض می‌باشد. مطالعات پیشین نشان داده‌اند تنها در صورت پیروی کامل داده‌ها از مدل‌های آماری پیش‌فرض، می‌توان دستیابی به نتایج مناسب آنالیز طیفی در دسته روش‌های پارامتریک را انتظار داشت. امروزه تخمین‌گرهای پارامتریک با زمان بالای محاسباتی در پردازش‌های عملیاتی پیشنهاد نمی‌گردد. این در حالی است که در ایده اصلی روش‌های غیرپارامتریک، هیچ‌گونه فرضی برای ویژگی‌های آماری سیگنال‌های دریافتی در نظر گرفته نشده و تعداد پراکنش‌گرهای موقعیت آن‌ها مستقیماً از طریق داده‌ها تخمین زده می‌شود[۱۸]. از این‌رو در دهه‌های اخیر استفاده از انواع الگوریتم‌های تخمین طیفی غیرپارامتریک در بسیاری از موضوعات کاربردی مورد توجه قرار گرفته است[۱۸، ۲۴ و ۲۵]. با وجود انواع محدودیت‌های ذکر شده، هدف از این پژوهش، ارائه یک روش نوین و کارای تخمین طیفی غیرپارامتریک در توموگرافی داده‌های SAR با استفاده از تصاویر تراسار- ایکس در مد استیریپمپ^۱ خواهد بود. با وجود قدرت تفکیک مکانی پایین‌تر مد استیریپمپ در مقایسه با مد اسپات‌لایت^۲ و به کارگیری این تصاویر در تفسیر مناطق پیچیده شهری، تخمین‌گر غیرپارامتریک پیشنهادی از ویژگی‌هایی همانند عدم وابستگی به فرض‌های آماری و دانش اولیه، ماکزیمم‌سازی آنتروپی سیگنال و مینیمم‌نمودن خطای موردنظر انتظار برخوردار می‌باشد. این ویژگی‌ها منجر به توانایی قابل توجه روش پیشنهادی در تفکیک سطوح مختلف نویز تصاویر، حفظ پیوستگی پروفیل بازپراکش و بهبود تخمین ارتفاع ساختمان‌های شهری می‌گردد.

۲ مواد و روش

در این بخش، تصاویر مورد استفاده و هم‌چنین روش پیشنهادی توموگرافی داده‌های SAR به منظور تخمین

^۱ Horizontal-Horizontal

^۲ Bing Map

^۳ The Council on Tall Buildings and Urban Habitat

^۴ Stripmap

^۵ Spotlight



شکل ۱: (الف) میانگین ۱۹ تصویر تراسار - ایکس، (ب) تصویری از بینگمپ شامل ساختمان موردنظر

جدول 1: تاریخ اخذ تصاویر و مولفه‌های خطمبنای عمودی

تاریخ اخذ تصاویر	مولفه عمودی خط مبنا (متر)	تاریخ اخذ تصاویر	مولفه عمودی خط مبنا (متر)
۲۰۱۲۱۰۰۶	-۱۱۶	۲۰۱۳۰۲۲۶	.
۲۰۱۲۱۰۱۷	۶۷	۲۰۱۳۰۳۰۹	۷۲
۲۰۱۲۱۰۲۸	-۱۵	۲۰۱۳۰۳۳۱	۲۲۲
۲۰۱۲۱۱۰۸	-۴۵	۲۰۱۳۰۴۲۲	۲۹۸
۲۰۱۲۱۱۳۰	۹	۲۰۱۳۰۵۰۳	۲۴۰
۲۰۱۲۱۱۲۱۱	-۶	۲۰۱۳۰۷۰۸	۱۳۱
۲۰۱۲۱۱۲۲۲	۲۷۵	۲۰۱۳۰۷۱۹	۲
۲۰۱۳۰۱۱۳	-۳۹	۲۰۱۳۰۷۳۰	۱۶۹
۲۰۱۳۰۱۲۴	-۱۸	۲۰۱۳۰۸۱۰	۷۹
		۲۰۱۳۰۸۲۱	۶

پراکنشی را فراهم ساخته است (۲۰٪). حال با استفاده از
باند ایکس در مناطق شهری و ببهود قدرت تفکیک
مکانی انواع سنجهندهای SAR، دسته‌بندی ساختارهای
بازپراکنش از سطوح را می‌توان در موارد زیر بیان
نمود (۸):

- (۱) پراکنش ضعیف پراکنده^۲ از سطوح صاف افقی و

۲-۲ - روش پیشنهادی

به علت تنوع توزیع ارتفاعی ساختمان‌ها در مناطق شهری و تاثیر مستقیم آن در همدوسوی بین تصاویر، آنالیز داده‌های SAR از پیچیدگی‌های خاصی برخوردار می‌باشد [۱۹]. از دیدگاه هندسی، پدیده وارونگی^۱ در این مناطق، موجات برهم‌نهی مولفه‌های مختلف

Diffuse

^ Layover

در بعد سوم (جهت عمود بر رنج و آزیموت) و تمرکز چندین تصویر اخذشده با زوایای مختلف از یک منطقه، امکان بازسازیتابع پراکنش در جهت ارتفاعی، تفکیک پراکنش‌گرها در هر پیکسل و تصویرسازی سهبعدی در مناطق شهری را فراهم آورده است. شکل (۲) هندسه اخذ داده در تکنیک *TomoSAR* را نشان می‌دهد. در این شکل بردار \vec{b} بیانگر راستای ارتفاعی، r نمایان‌گر فاصله سنجدنده تا هدف و دو پارامتر ($b_{\perp n}$, $b_{\parallel n}$) نیز موقعیت نسبی سنسور n نسبت به سنسور پایه می‌باشد (۸).

برای پراکنش‌گر P در موقعیت (x, r, s) ، با فاصله $R_n(r, s)$ تا سنجدنده n و شدت بازتابی $\gamma(x, r, s)$ ، انرژی دریافتی در سنجدنده n از پراکنش‌گر P برابر با رابطه (۱) خواهد بود:

$$\text{رابطه (۱)} \quad \gamma(x, r, s) \cdot \exp[-j \frac{4\pi}{\lambda} R_n(r, s)] * f(x, r)$$

در رابطه (۱)، $*$ بیانگر عملگر کانولوشن، λ طول موج و تابع $f(x, r)$ نیز بهمنظور متوجه کردن ارتفاعی تابع پخش نقطه-ای $(PSF)^{\Delta r}$ دو بعدی مورد استفاده قرار گرفته که می‌توان آن را با رابطه (۲) بیان نمود:

$$\text{رابطه (۲)} \quad f(x, r) = \sin c(\frac{r}{\Delta r}) \sin c(\frac{x}{\Delta x})$$

Δx و Δr در رابطه (۲) به ترتیب مفهوم قدرت تفکیک مکانی در جهت آزیموت و رنج را خواهند داشت. با توجه به شکل (۲) و به کارگیری تقریب فرنل^۳، فاصله مطرح شده در رابطه (۱) برابر است با رابطه (۳):

$$\text{رابطه (۳)}$$

$$R_n(r, s) = \sqrt{(r - b_{\perp n})^2 + (s - b_{\parallel n})^2} \approx r - b_{\perp n} + \frac{(s - b_{\parallel n})^2}{2(r - b_{\perp n})}$$

حال با بسط روابط به چندین پراکنش‌گر و انتگرال‌گیری از روابط، انرژی دریافتی از تمامی پراکنش‌گرها در سنجدنده n طبق رابطه (۴) بدست می‌آید.

^۳ Point Spread Function

^۴ Fresnel Approximation

یا عمودی (جاده‌ها و دیوار ساختمان‌ها). پراکنش‌های صورت گرفته در این موارد از قدرت تفکیک ارتفاعی بسیار کوچک‌تر بوده و از این‌رو این سطوح همانند پراکنش‌گرهای مجزا در جهت ارتفاع عمل می‌نمایند.

(۲) بازگشتهای دوسطحی^۱ سه‌وجهی^۲ و یا بازگشتهای قوی از ساختارهای متالیک. این‌ها همان نقاط مورد استفاده در تکنیک تداخل‌سنجدی پراکنش‌گر دائمی (*PSI*)^۳ بوده و مشارکت سیگنالی غالی دارند. در تصاویر با قدرت تفکیک مکانی بالای *SAR*، تراکم این نقاط بسیار بالا می‌باشد.

(۳) بازگشتهایی از پراکنش‌گرهای حجمی همانند پوشش‌های گیاهی. در این حالت با مجموعه‌ای از پراکنش‌گرها مواجه بوده که با وجود فاصله زمانی و عدم همبستگی، پاسخ آن‌ها همانند نویز عمل می‌کند.

با وجود ارائه بسیاری از تکنیک‌های تداخل‌سنجدی، تقریباً تمامی روش‌ها تنها از اطلاعات فاز سیگنال‌های بازگشتی استفاده نموده و فرض آن‌ها مبنی بر وجود یک پراکنش غالب در هر پیکسل می‌باشد (۷). حال آن‌که با درنظر گرفتن این فرض، تنها یکی از بازپراکنش‌کننده‌ها^۴ در پیکسل بازسازی و تعیین موقعیت شده و اطلاعات مرتبط با مشارکت‌های غیرغالب از دست خواهد رفت (۴). این در صورتی است که در مناطق شهری با تراکم بالای پراکنش‌گرهای (مت)شکل از ساختمان، دیوار و دیگر ساختارهای ساخت دست بشر، این فرض از تشخیص برخی پراکنش‌گرها جلوگیری به عمل آورده و دقت بازسازی را تحت تاثیر قرار می‌دهد (۶).

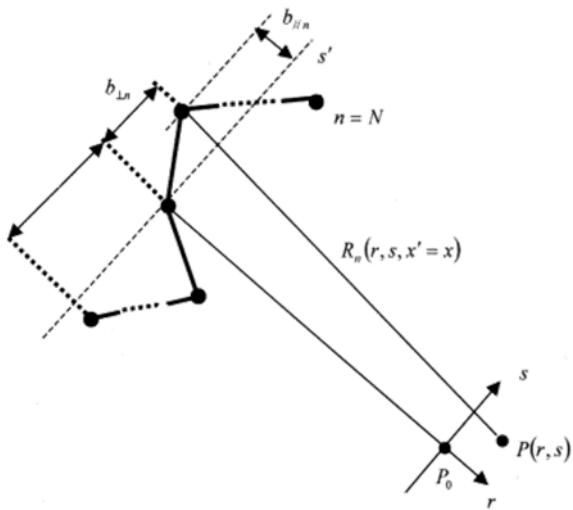
امروزه تکنیک *TomoSAR* با بسط اصول روزنه مجازی

^۱ Dihedral

^۲ Trihedral

^۳ Persistent Scatterer Interferometry

^۴ Scatterers



شکل ۲: هندسه اخذ داده در تکنیک TomoSAR

$$y_n(x', r') = \iint dx dr f(x' - x, r' - r) \int ds \gamma(x, r, s) \exp[-j \frac{4\pi}{\lambda} R_n(r, s)] \quad n=1, \dots, N \quad \text{رابطه (۴)}$$

با جایگذاری رابطه (۳) در (۶) می‌توان به وجود یک ترم درجه دو در قسمت فاز رابطه (۶) پی‌برد. این اعوجاج را می‌توان با ضرب سیگنال دریافتی در فاکتور فاز متناظر با اکو بازگشتی از هدف در راستای مرکز ارتفاعی (P_0) جبران نمود. پس از حذف این اثر از y_n ، سیگنال دریافتی g_n را می‌توان با رابطه (۷) تعریف نمود:

در رابطه (۴)، $f(x' - x, r' - r)$ به منظور متراکزسازی تابع PSF مورد استفاده قرار می‌گیرد. در یک پرآکشن‌گر با موقعیت (x, r, s) ، پارامترهای $\gamma(x, r, s)$ و $R_n(r, s)$ به ترتیب بیانگر شدت بازتابی و فاصله تا سنجنده n می‌باشند. رابطه (۴) ارتباط اساسی میان سیگنال‌های دریافتی از چندین سنجنده و مقادیر مختلط پروفیل بازتاب را بیان می‌نماید. در ادامه به منظور سادگی در روابط، تابع دوبعدی پخش نقطه‌ای با تابع دیراک^۱ دو بعدی تقریب زده شده و مسئله تخمین سه بعدی تبدیل به مسئله یک بعدی در راستای ارتفاعی (۵) می‌گردد. از این‌رو پس از ساده‌سازی در روابط (۵) و (۶) خواهیم داشت:

$$f(x' - x, r' - r) = \delta(x' - x)\delta(r' - r) \quad \text{رابطه (۵)}$$

رابطه (۶)

$$y_n(x, r) = \int_{-s_{\max}}^{s_{\max}} \gamma(x, r, s) \exp[j \frac{4\pi}{\lambda r} R_n(s)] ds$$

^۱ Dirac Function

$$g_n = y_n \exp[+j\frac{4\pi}{\lambda} R_n(0)] = \int_{-s_{max}}^{s_{max}} \gamma(s) \exp[-j\frac{4\pi}{\lambda}(R_n(s) - R_n(0))] ds \quad (7)$$

که

$$\begin{aligned} R_n(s) - R_n(0) &= |r_0 - b_{\perp n}| + \frac{(s - b_{\perp n})^2}{2|r_0 - b_{\perp n}|} - (|r_0 - b_{\perp n}| + \frac{(b_{\perp n})^2}{2|r_0 - b_{\perp n}|}) \\ &= -\frac{b_{\perp n}}{|r_0 - b_{\perp n}|} s + \frac{s^2}{2|r_0 - b_{\perp n}|} \end{aligned} \quad (8)$$

با جایگذاری روابط بالا، در رابطه (9) خواهیم داشت:

$$g_n = \int_{-s_{max}}^{s_{max}} \gamma(s) \exp[-j\frac{4\pi}{\lambda} \frac{s^2}{2(r - b_{\perp n})}] \exp[j\frac{4\pi}{\lambda} \frac{b_{\perp n}s}{r - b_{\perp n}}] ds \quad (9)$$

در رابطه (12)، $s_l (l=1, \dots, L)$ موقعیت ارتفاعی نمونه برداری شده، $\gamma(s_l)$ بازتاب در موقعیت ارتفاعی s_l و ϵ بیانگر ترم نویز بوده که در صورت پیش‌پردازش صحیح، می‌توان از این ترم صرف‌نظر نمود. لازم به ذکر است هر یک از المان‌های G با ابعاد $N \times L$ را می‌توان با رابطه (13) تعیین نمود:

$$G_{nl} = \exp(-j2\pi\zeta_n s_l) \quad (13)$$

بدین ترتیب می‌توان رابطه (12) را به فرم رابطه (14)

ساده‌سازی نمود:

$$g = G \cdot \gamma + \epsilon \quad (14)$$

به طور کلی هدف از حل مسئله *TomoSAR*، تخمین پارامترهای پراکنش هر پیکسل همانند تعداد پراکنش‌گرهای ارتفاع آن‌ها و بازیابی پروفیل بازپراکنش خواهد بود. حال آن‌که تکنیک توموگرافی داده‌های *SAR* را می‌توان به عنوان یک مسئله تخمین طیفی در نظر گرفته و با آنالیز طیفی مجموعه‌ای از N تصویر اخذ شده از منطقه، پارامترهای مورد نظر در هر پیکسل را تعیین نمود. با وجود مزیت‌های ذکر شده از روش‌های غیرپارامتریک، ارائه یک روش نوین و کارای پردازش سیگنال در این پژوهش توانسته است در صورت وجود انواع نویزها در مشاهدات نیز نتایج قابل اعتمادی را بازیابی نماید. شکل (3) روند کلی الگوریتم پیشنهادی در توموگرافی داده‌های *SAR* را نشان می‌دهد.

با وجود اهمیت ویژگی فاز سیگنال، لازم است اثر ترم درجه دو موجود در رابطه (9) را با عملیات پس‌پردازش حذف نمود. حال در مجموعه‌ای از تصاویر دو بعدی *SAR*، مقدار مختلط هر پیکسل در N تصویر *SAR* بیانگر تجمعی از سیگنال‌های بازپراکنش یافته در راستای ارتفاعی در نظر گرفته شده که می‌توان آن را با روابط (10) و (11) بیان نمود [8]:

$$\text{رابطه (10)} \quad (10)$$

$$g_n = \int_{-s_{max}}^{s_{max}} \gamma(s) [j2\pi \frac{2}{\lambda} \frac{b_{\perp n}}{r - b_{\perp n}}] ds = g(\zeta)|\zeta_n| \quad n=1, \dots, N$$

که

$$\zeta_n = \frac{2b_{\perp n}}{\lambda(r - b_{\perp n})} \approx \frac{2b_{\perp n}}{\lambda r} \quad (11)$$

در رابطه (10)، $[s_m, -s_m]$ بازه ارتفاعی در بازسازی، ζ فرکانس مکانی در راستای ارتفاع و $\gamma(s)$ نیز شدت بازتاب در راستای بازه ارتفاعی موردنظر می‌باشد. در صورت نمونه‌برداری بازه $[s_{max}, -s_{max}]$ به L نمونه در راستای ارتفاعی، رابطه ذکر شده در بالا را می‌توان به شکل رابطه (12) بیان نمود:

$$\begin{pmatrix} g_1 \\ \vdots \\ g_n \end{pmatrix} = \begin{pmatrix} G_{11} & \dots & G_{1L} \\ \vdots & & \vdots \\ G_{N1} & \dots & G_{NL} \end{pmatrix} \cdot \begin{pmatrix} \gamma(s_1) \\ \vdots \\ \gamma(s_L) \end{pmatrix} + \epsilon \quad (12)$$



شکل ۳: روند کلی الگوریتم پیشنهادی در تکنیک TomoSAR

بازتابی به دست آمده را می‌توان به فرم رابطه (۱۸) تعیین نمود:

$$\gamma(s_i) = \frac{1}{|G^H(s)C_j|^2} \quad (18)$$

لازم به ذکر است C_j معرف ستون زام از معکوس ماتریس کواریانس R_{gg}^{-1} می‌باشد.

۳- نتایج و بحث

مطابق با فلوچارت رسم شده در شکل (۳)، پس از اخذ تصویر دو بعدی SAR، لازم است پیش‌پردازش‌های N تصویر پیشنهادی \hat{R}_{gg} را محاسبه کرد. در مرحله پیش‌پردازش از این پژوهش، ابتدا ۱۹ تصویر اخذ شده به یک تصویر مبنا ثبت هندسی^۴ شده و پس از حذف فاز زمین مسطح^۵ و اتمسفری، پردازش توموگرافی با استفاده از تخمین گر طیفی پیشنهادی بر داده‌های پیش‌پردازش شده انجام می‌گیرد. تمامی پیاده‌سازی‌ها در این مقاله در محیط برنامه‌نویسی متلب صورت گرفته‌است.

هندسه پهلوونگر اخذ داده در سنجنده‌های راداری و ارتفاع بلند برج هزاره سوم در منطقه مطالعاتی، موجب گردیده پدیده وارونگی خود را با شدت بیشتری در پیکسل‌های متعلق به این ساختمان در شکل (۱-الف) نشان دهد. فاصله یکسان سنجنده از نقاط ارتفاعی متفاوت در نمای ساختمان موردنظر و همچنین زمین

اساس تکنیک پیشنهادی ماکزیمم آنتروپی به عنوان بهبودیافته‌ای از روش تخمین طیفی بیم‌فرمینگ و بر مبنای برون‌یابی ماتریس کواریانس حاصل از تصاویر SAR ارائه گردیده است. برون‌یابی در این روش از طریق ماکزیمم‌سازی آنتروپی سیگنال و با جستجو در میان ضرایب مدل رگرسیون خودکار (AR)^۱ به دست می‌یابد [۲۱]. این ماکزیمم‌سازی منجر به کاهش خطای مورد انتظار گردیده که می‌توان آن را به فرم روابط (۱۵) و (۱۶) بیان نمود:

$$a = \arg \min \left\{ a^H \hat{R}_{gg} \right\} \quad (15)$$

$$\hat{R}_{gg} = \frac{1}{N} \sum_{k=1}^N gg^H \quad (16)$$

لازم به ذکر است عملگر^H(.) در رابطه بالا مفهوم ترانهاده مزدوج^۲ را داشته است. مشروط به برقراری شرط $G^H e_1 = 1$ برای اولین ضریب مدل رگرسیون خودکار و به کارگیری روش بهینه‌سازی ضرایب لاغرانژ^۳، در رابطه (۱۷) خواهیم داشت:

$$a = \frac{\hat{R}_{gg}^{-1} e_1}{e_1^T \hat{R}_{gg} e_1} \quad (17)$$

در رابطه (۱۷)، $a = [a_1, a_2, \dots, a_N]$ و $e_1 = [a_1, a_2, \dots, a_N]^T$ به ترتیب بیانگر ضرایب مدل رگرسیون خودکار و اولین ستون ماتریس همانی I با ابعاد $N \times N$ خواهد بود. در ادامه نیز طیف

^۴ Coregistration

^۵ Flat Earth

^۱ Auto – Regressive

^۲ Conjugate Transpose

^۳ Lagrange Multiplier

تکمنظری TomoSAR، شاهد تاثیرگذاری عوامل ایجاد نویز بر نتایج به دست آمده از توموگرام خواهیم بود. با توجه به این شکل می‌توان از بین رفتن روند کاهشی ارتفاع ساختمان را از پیکسل شماره ۹۸ به بعد بهوضوح مشاهده نمود.

این درحالی است که روش ماکریم آنتروپی با مینیمم-نمودن خطای موردنظر از تعیین ضرایب مدل رگرسیون خودکار، ماکریم‌سازی آنتروپی سیگنال و قابلیت تفکیک نویز در سطوح مختلف، توانسته نتایج تخمین ارتفاع برج را به میزان قابل توجهی بهبود بخشیده و پیوستگی را در راستای توموگرام شکل (۴-د) نشان دهد. تخمین ارتفاع صورت گرفته توسط روش پیشنهادی ماکریم آنتروپی در شکل (۴-د) نشان می-دهد که با افزایش شماره پیکسل‌ها در راستای آزیموت و نزدیکی به پایین برج، به تدریج در یک روند نزولی از ارتفاع ساختمان کاسته شده است. این روش پیشنهادی، ارتفاع برج میلینیوم را برابر با ۱۱۸ متر تخمین زده و نتایج حاکی از آن است که ارتفاع حاصل از این تکنیک در مقایسه با دیگر روش‌های پیاده‌سازی شده، به بلندی برج در واقعیت زمینی نزدیک‌تر می‌باشد.

به منظور نمایش توانایی در تفکیک و جداسازی پراکنش‌گرها در هر پیکسل، عملکرد تخمین‌گر پیشنهادی ماکریم آنتروپی با دو روش غیرپارامتریک کاپون و بیم‌فرمینگ مورد مقایسه قرار گرفته که نتایج حاصل را می‌توان در پروفیل‌های شکل (۵) مشاهده نمود. پروفیل‌های ارتفاعی ترسیمی در شکل (۵) متعلق به نقطه انتخابی P_1 در شکل (۴-الف) می‌باشند. در واقعیت زمینی، با قرار گیری نقطه P_1 در خارج از محدوده ساختمان انتخابی، انتظار وجود تنها یک پراکنش‌گر غالب در نزدیکی زمین را خواهیم داشت. حال در این پژوهش نیز با پیاده‌سازی تخمین‌گر پیشنهادی ماکریم آنتروپی در شکل (۵-ج)، بیشترین میزان بازپراکنش را می‌توان در ارتفاعی نزدیک به صفر مشاهده نمود. با توجه به پروفیل‌های رسم شده از نقطه انتخابی P_1 با دو تکنیک کاپون و بیم‌فرمینگ در شکل

مسطح در اطراف ساختمان، موجب همپوشانی سیگنال-های دریافتی از نقاط مختلف منطقه و شکل‌گیری چندین پراکنش‌گر در هر پیکسل گردیده است. از این رو نیاز به ارائه یک روش تخمین طیفی قوی و کارآمد در تفکیک پراکنش‌گرهای ممکن در پیکسل‌های تصویر SAR بیش از پیش افزایش یافته است.

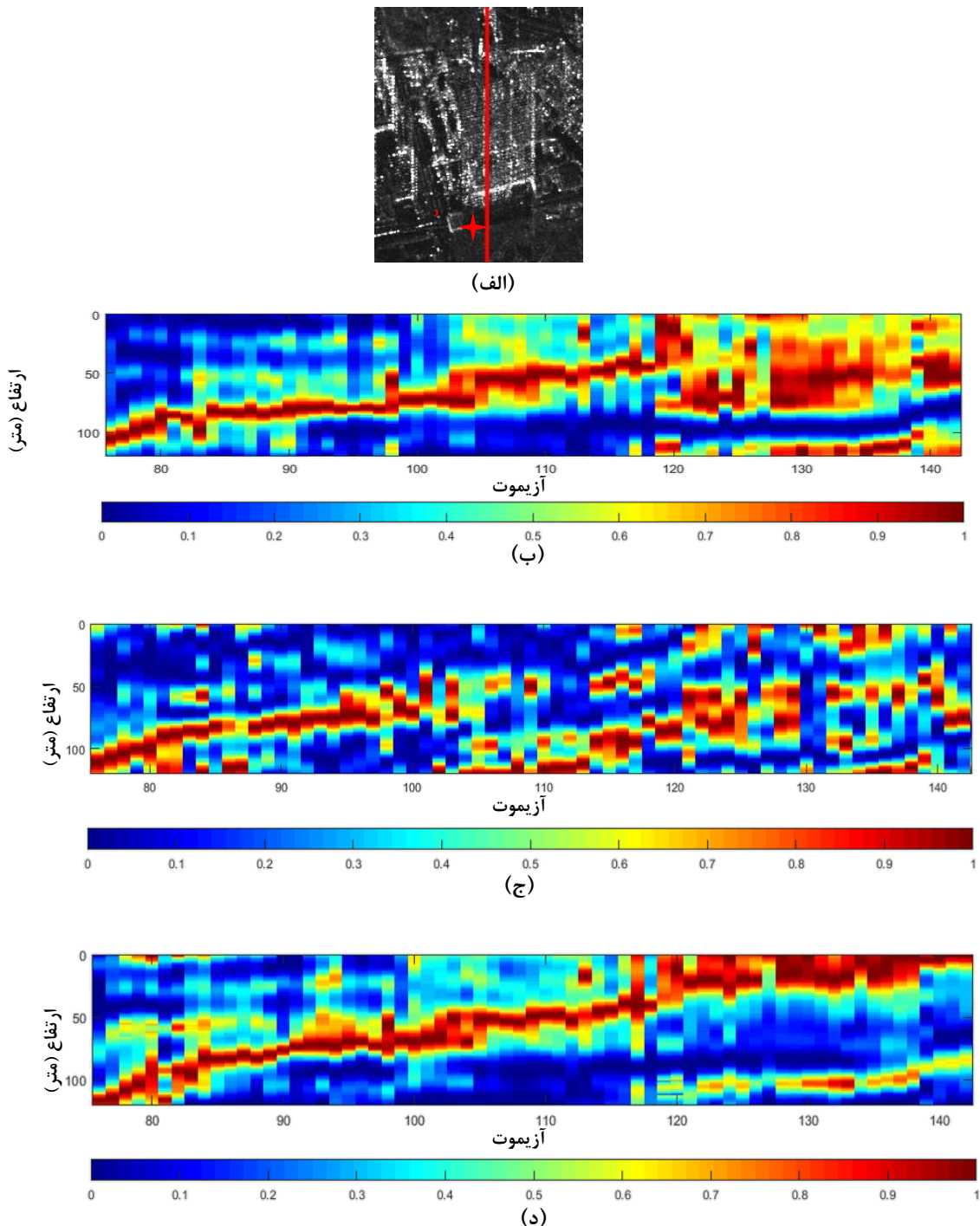
در این پژوهش، عملکرد الگوریتم پیشنهادی ماکریم آنتروپی با دو روش متداول تخمین طیفی کاپون و بیم-فرمینگ مقایسه و مورد ارزیابی قرار گرفته است. در شکل (۴-ب، ۴-ج و ۴-د) می‌توان نتایج توموگرام آزمیوت - ارتفاع حاصل از روش‌های فوق را در راستای خط قرمز ترسیم شده در شکل (۴-الف) مشاهده نمود. براساس رابطه ابهام ارتفاعی در این پیاده‌سازی، بازه ارتفاعی موردنظر به منظور بازیابی ارتفاع، بازه $[120-0]$ متر در نظر گرفته شده است.

نتایج توموگرام شکل (۴-ب) حاکی از آن است روش تخمین طیفی کاپون نتوانسته نتیجه مناسبی در تفکیک پراکنش‌گرها در هر پیکسل و بازیابی ارتفاع برج مطالعاتی نشان دهد. همان‌گونه که در ابتدای توموگرام شکل (۴-ب) می‌توان مشاهده نمود ارتفاع برج هزاره سوم توسط روش کاپون برابر با ۱۱۲ متر تخمین زده شده و این در حالی است که واقعیت زمینی این برج برابر با ۱۲۰ متر برآورد گردیده است. در این شکل با افزایش شماره پیکسل‌ها در جهت آزیموت و نزدیک شدن به پایین برج، شاهد از بین رفتن روند کاهشی ارتفاع از پیکسل شماره ۱۱۸ به بعد خواهیم بود. هم‌چنین با وجود شدت وارونگی در منطقه مطالعاتی، اثرات نویز و ناپیوستگی‌ها در توموگرام رسم شده از روش کاپون را هم‌چنان می‌توان در شکل (۴-ب) مشاهده نمود.

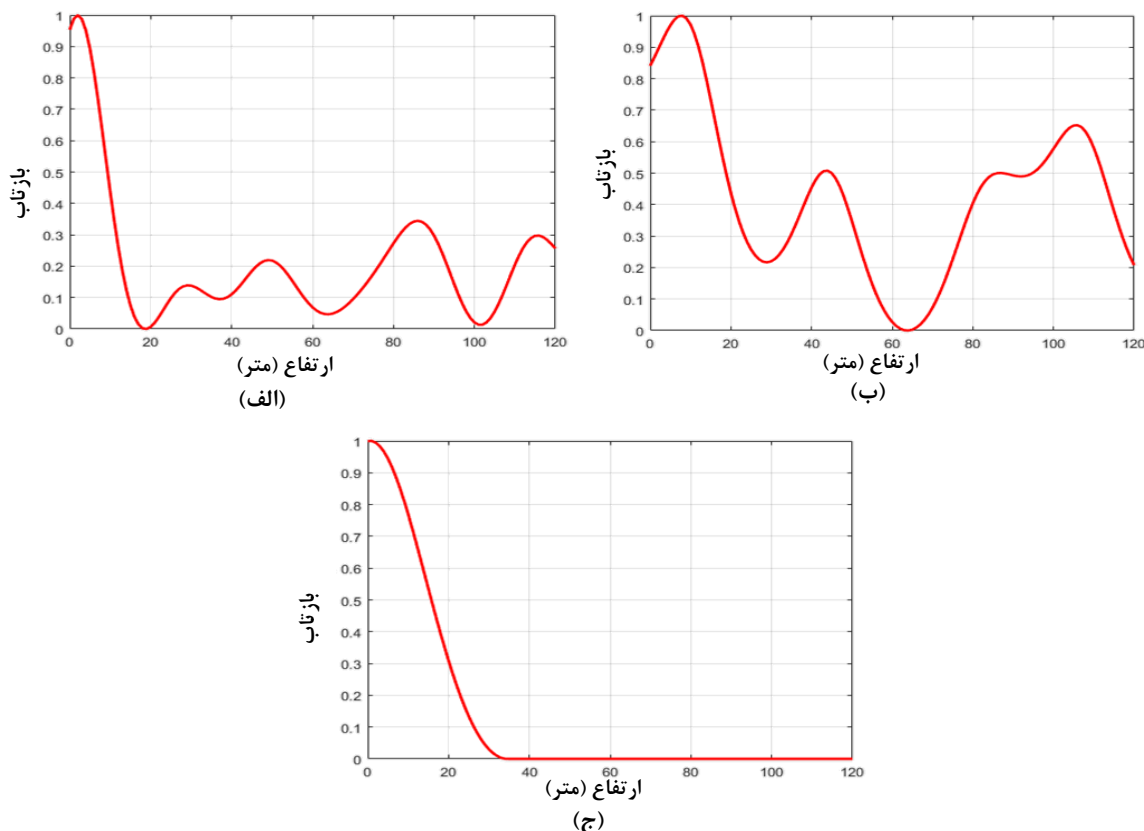
در دیگر روش پیاده‌سازی شده بیم‌فرمینگ، ارتفاع تخمینی ۱۱۶ متر از برج میلینیوم در ابتدای توموگرام شکل (۴-ج) نشان داده شده است. با وجود نزدیکی ارتفاع تخمینی حاصل از این روش با واقعیت زمینی آن، به علت قرار گیری این روش در دسته تکنیک‌های

تخمینگر پیشنهادی توانسته در حذف سایدلوب‌ها عملکرد خوبی را به نمایش بگذارد.

(۵-الف و ۵-ب)، بهوضوح می‌توان اثرات سایدلوب‌ها را در نتایج مشاهده نمود و این در حالی است که



شکل ۴: (الف) موقعیت خط ترسیم توموگرام در برج هزاره سوم، (ب) توموگرام حاصل از روش کاپتون، (ج) توموگرام حاصل از روش فرمینگ، (د) توموگرام حاصل از روش پیشنهادی



شکل ۵: (الف) پروفیل ارتفاعی حاصل از روش کاپون، (ب) پروفیل ارتفاعی حاصل از روش بیم فرمینگ
(ج) پروفیل ارتفاعی حاصل از روش پیشنهادی

بخشیده و اثرات سایدلوپ‌ها را نیز حذف نماید. گرچه

در این روش، انتخاب ستون زام از ماتریس C_z تاثیر قابل توجهی در نتایج به دست آمده در روش ارائه شده خواهد داشت. از این‌رو به عنوان پیشنهاد در مطالعات آتی، ارائه یک روش اتوماتیک در انتخاب ستون بهینه از معکوس ماتریس کواریانس می‌تواند مورد بررسی و ارزیابی قرار گیرد.

تشکر و قدردانی

نویسنده‌گان این مقاله بر خود لازم می‌دانند از حمایت‌های مالی صندوق حمایت از پژوهشگران و فناوران کشور و هم‌چنین آژانس فضایی اروپا (ESA) به منظور در اختیار قراردادن تصاویر تراسار - ایکس کمال تشکر و قدردانی را نمایند.

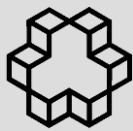
۴- نتیجه‌گیری و پیشنهادات

هدف از این پژوهش، ارائه یک تخمین‌گر نوین طیفی در تعیین ارتفاع ساختمان‌های شهری با استفاده از تکنیک TomoSAR می‌باشد. روش پیشنهادی با استفاده از تصاویر ماهواره فضابرد تراسار - ایکس در مدد استیریپ‌مپ توانسته است مشکل برهم‌نگی پاسخ چندین پراکنش‌گر مختلف در یک پیکسل را به عنوان اساسی‌ترین محدودیت مطرح در مناطق شهری برطرف نماید. در مقایسه با دیگر روش‌های تخمین طیفی، روش غیرپارامتریک ماکریزم آنتروپی با استفاده از برونیابی ماتریس کواریانس مجموعه تصاویر اخذ شده، جستجو در ضایعات مدل رگرسیون خودکار و تفکیک سطوح مختلف نویز در تصاویر، توانسته نتایج به دست آمده از تخمین ارتفاع را به میزان قابل توجهی بهبود

مراجع

- [1] D. Reale and G. Fornaro, "SAR tomography for 3D reconstruction and monitoring," in *Encyclopedia of Earthquake Engineering*, pp. 1-16, 2014, doi: 10.1007/978-3-642-36197-5.
- [2] G. Fornaro, F. Serafino, and F. Soldovieri, "Three-dimensional focusing with multipass SAR data," *IEEE Transactions on Geoscience and Remote Sensing*, vol. 41, no. 3, pp. 507-517, 2003, doi: 10.1109/TGRS.2003.809934.
- [3] F. Baselice, A. Budillon, G. Ferraioli, and V. Pascazio, "Layover solution in SAR imaging: A statistical approach," *IEEE Geoscience and Remote Sensing Letters*, vol. 6, no. 3, pp. 577-581, 2009, doi: 10.1109/LGRS.2009.2021489.
- [4] F. Lombardini and M. Pardini, "3-D SAR tomography: the multibaseline sector interpolation approach," *IEEE Geoscience and Remote Sensing Letters*, vol. 5, no. 4, pp. 630-634, 2008, doi: 10.1109/LGRS.2008.2001283.
- [5] D. Reale, G. Fornaro, A. Pauciullo, X. Zhu, N. Adam, and R. Bamler, "Advanced techniques and new high resolution SAR sensors for monitoring urban areas," in *IEEE International Geoscience and Remote Sensing Symposium*, pp. 1800-1803, 2010, doi: 10.1109/IGARSS.2010.5652309.
- [6] G. Fornaro and F. Serafino, "Imaging of single and double scatterers in urban areas via SAR tomography," *IEEE Transactions on Geoscience and Remote Sensing*, vol. 44, no. 12, pp. 3497-3505, 2006, doi: 10.1109/TGRS.2006.881748.
- [7] G. Fornaro, F. Serafino, and D. Reale, "4-D SAR imaging: The case study of Rome," *IEEE Geoscience and Remote Sensing Letters*, vol. 7, no. 2, pp. 236-240, 2010, doi: 10.1109/LGRS.2009.2032133.
- [8] X. X. Zhu and R. Bamler, "Very high resolution spaceborne SAR tomography in urban environment," *IEEE Transactions on Geoscience and Remote Sensing*, vol. 48, no. 12, pp. 4296-4308, 2010, doi: 10.1109/TGRS.2010.2050487.
- [9] S. Guillaso and A. Reigber, "Scatterer characterisation using polarimetric SAR tomography," in *Proceedings IEEE International Geoscience and Remote Sensing Symposium (IGARSS)*, , vol. 4, 2005, pp. 2685-2688, doi: 10.1109/IGARSS.2005.1525619.
- [10] L. Ferro-Famil, Y. Huang, and E. Pottier, "Principles and applications of polarimetric SAR tomography for the characterization of complex environments," in *VIII Hotine-Marussi Symposium on Mathematical Geodesy*, pp. 243-255, 2016, doi: <https://doi.org/10.1007/1345-2015-12>.
- [11] L. Wei, T. Balz, K. Liu, and M. Liao, "Three dimension SAR tomography in SHANGHAI using high resolution spaceborne SAR data," in *Fringe 2011*, vol. 697, pp. 1-5, 2012.
- [12] P. Piau, "Performances of the 3D-SAR imagery," in *Proceedings of IEEE International Geoscience and Remote Sensing Symposium (IGARSS)*, vol. 4, pp. 2267-2271, 1994, doi: 10.1109/IGARSS.1994.399710.
- [13] P. Pasquali et al., "A 3-D SAR experiment with EMSL data," in *International Geoscience and Remote Sensing Symposium (IGARSS)*, vol. 1, pp. 784-786, 1995, doi: 10.1109/IGARSS.1995.520585.
- [14] A. Reigber and A. Moreira, "First demonstration of airborne SAR tomography using multibaseline L-band data," *IEEE Transactions on Geoscience and Remote Sensing*, vol. 38, no. 5, pp. 2142-2152, 2000, doi: 10.1109/36.868873.
- [15] Y. Huang, L. Ferro-Famil, and A. Reigber, "Polarimetric SAR tomography of natural environments using hybrid spectral estimators," in *IEEE International Geoscience and Remote Sensing Symposium*, pp. 146-149, 2010, doi: 10.1109/IGARSS.2010.5653918.
- [16] E. Aguilera, M. Nannini, A. Reigber, "Wavelet-based compressed sensing for SAR tomography of forested areas," *9th European Conference on Synthetic*

- Aperture Radar*, pp. 5283–5295, 2012, doi: 10.1109/TGRS.2012.2231081.
- [17] X. Zhu, "Very high resolution tomographic SAR inversion for urban infrastructure monitoring—a sparse and nonlinear tour," Technische Universität München, 2011.
- [18] L. Wei, T. Balz, M. Liao, and L. Zhang, "TerraSAR-X StripMap data interpretation of complex urban scenarios with 3D SAR tomography," *Journal of Sensors*, vol. 2014, 2014.
- [19] A. Luckman and W. Grey, "Urban building height variance from multibaseline ERS coherence," *IEEE Transactions on Geoscience and Remote Sensing*, vol. 41, no. 9, pp. 2022-2025, 2003, doi: 10.1109/TGRS.2003.815236.
- [20] S. Sauer, L. Ferro-Famil, A. Reigber, and E. Pottier, "Three-dimensional imaging and scattering mechanism estimation over urban scenes using dual-baseline polarimetric InSAR observations at L-band," *IEEE Transactions on Geoscience and Remote Sensing*, vol. 49, no. 11, pp. 4616-4629, 2011, doi: 10.1109/TGRS.2011.2147321.
- [21] L. C. Godara, "Application of antenna arrays to mobile communications. II. Beam-forming and direction-of-arrival considerations," *Proceedings of the IEEE*, vol. 85, no. 8, pp. 1195-1245, 1997, doi: 10.1109/5.622504.
- [22] V. Cazcarra-Bes, M. Tello-Alonso, R. Fischer, M. Heym, K. Papathanassiou, "Monitoring of forest structure dynamics by means of L-band SAR tomography," *Remote Sensing*, vol. 9(12), pp. 1-22, 2017, doi: 10.3390/rs9121229.
- [23] Y. Huang, L. Ferro-Famil, A. Reigber, "Under-foliage object imaging using SAR tomography and polarimetric spectral estimators," *IEEE Transactions on Geoscience and Remote Sensing*, vol. 50, pp. 2213–2225, 2012, doi: 10.1109/TGRS.2011.2171494.
- [24] Xing Peng, Xinwu Li, Changcheng Wang, Haiqiang Fu, and Yanan Du, "A maximum likelihood based nonparametric iterative adaptive method of synthetic aperture radar tomography and its application for estimating underlying topography and forest height," *Sensors*, vol. 18(8), 2018, doi: 10.3390/s18082459.
- [25] Xing Peng, Changcheng Wang, Xinwu Li, Yanan Du, Haiqiang Fu, Zefa Yang, and Qinghua Xie, "Three-dimensional structure inversion of buildings with nonparametric iterative adaptive approach using SAR tomography", *Remote Sensing*, vol. 10(7), pp. 1-17, 2018, doi: 10.3390/rs10071004.
- [26] Huiming Chai and Xiaolei Lv, "SAR tomography for point-like and volumetric scatterers using a regularised iterative adaptive approach", *Remote Sensing Letters*, vol. 9, pp. 1060-109, 2018, doi:10.1080/2150704X.2018.1508911.



Determination of the height of urban buildings based on non-parametric estimation of signal spectrum in SAR data tomography

Mehrnoosh Omati^{1}, Mahmood Reza Sahebi², Hossein Aghababaei³*

1- Ph.D. Student of Remote Sensing, Faculty of Geodesy and Geomatics Engineering, K. N. Toosi University of Technology

2- Associate Professor of Faculty of Geodesy and Geomatics Engineering, K. N. Toosi University of Technology

3- Assistant Professor of Faculty of Geo-Information Science and Earth Observation (ITC), Department of Earth Observation Science (EOS), University of Twente.

Abstract

Nowadays, the TomoSAR technique has been able to overcome the limitations of radar interferometry techniques in separating multiple scatterers of pixels by extending the principles of virtual aperture in the elevation direction and it has received a lot of attention in the analysis of the challenging urban areas. Despite the expectation of the cooperation of the different scattering components of buildings with different heights, wall and ceiling levels, ground, or tree trunks, the TomoSAR technique enables the retrieval of reflectivity function along elevation direction by applying a stack of images taken from different angles and analyzing the signal spectrum of all the image pixels in the two dimensional direction of Range and Azimuth. In this research, the capability of a new non-parametric method of signal spectrum estimation in the analysis of the third dimension of buildings in urban areas is investigated. By searching for coefficients of the automatic regression model in order to maximize the signal entropy and also separating the different noise levels, the proposed efficient estimator of the maximum entropy has been able to provide good performance in reconstructing three-dimensional information from the urban area. The implementation of the proposed algorithm by using 19 TerraSAR-X satellite images in the study of the third-millennium tower in Tehran with a height of 120 meters and comparing its results with Capon and Beamforming spectral estimation methods, indicates better performance of the proposed method in height reconstruction, the continuity of the reflectivity profile and the elimination of the effects of the side lobes.

Key words: Tomography Technique, Spectral Estimation Analysis, TerraSAR-X Images, Urban Area.

Correspondence Address: No. 1346, ValiAsr Street, Mirdamad cross, Geomatics Engineering Faculty, K.N. Toosi University of Technology, Tehran, Iran.
Tel : 09127273121
Email : momati@mail.kntu.ac.ir